АСТРОФИЗИКА

TOM 24

ФЕВРАЛЬ, 1986

ВЫПУСК 1

УДК: 524.86Н

НАГРЕВ ПЕРВИЧНОГО ГАЗА РЕЛИКТОВЫМ ИЗЛУЧЕНИЕМ ПРИ НАЛИЧИИ МОЛЕКУЛЯРНОГО ВОДОРОДА

В. К. ХЕРСОНСКИЙ Поступила 29 мая 1985 Принята к печати 20 сентября 1985

Рассматривается эффект нагрева первичного газа реликтовым излучением в космологические эпохи $z\leqslant 150$. Переработка энергии излучения в тепловую энергию газа осуществляется при переходах между нижними вращательными уровнями молекул H_2 , небольшая примесь которых может присутствовать, в первичном газе [1]. Обсуждаемый процесс приводит к повышению температуры первичного газа на несколько десятков градусов. Обсуждается возможность наблюдательной проверки этого эффекта.

1. Введение. Молекулярный водород может играть важную роль в вволюции первичного газа. Впервые этот вопрос обсуждался в работе [2]. где было показано, что в впохи $z\sim 50$ в первичном газе может образоваться небольшое количество молекулярного водорода, характеризуемое относительным содержанием $x(H_2) = n(H_2)/n \approx 10^{-6} (n(H_2))$ и n = -6концентрация молекул Н, и полная концентрация газа. Несмотря на относительно малое содержание молекулярного водорода в первичном газе, в отсутствие пыли молекулы H₂ и их изотопзамещенные аналоги HD могут играть важную роль при объемном теплоотводе внергии в процессе гравитационной конденсации первичных фрагментов газа [3—7]. В эпохи $z \sim 50$ образование молекул H, идет, главным образом, через ион H $^-$, причем, как показано в работе [8], образующиеся молекулы Н₂, как правило, находятся в возбужденных колебательных состояниях, $v \sim 5-8$. Последующая колебательная релаксация должна приводить к сильному искажению спектра реликтового излучения в области длин волн λ \$120 μ [9], наблюдение которого может быть осуществлено при достаточно высокой чувствительности приемной аппаратуры в дальней ИК-области спектра. Такие наблюдения позволили бы определить ряд параметров, характеризующих Вселенную в эпохи $z \simeq 30-50$.

Как показано в работе [1], молекулярный водород в значительно большем количестве, чем при $z \approx 30-50$ может образоваться в впоху

 $z \sim 1000$, $x(H_2) \simeq 4 \cdot 10^{-4}$. В этом случае основной канал реакции образования Н, содержит в качестве промежуточного звена реакцию образования Н2. Молекулярный водород, образовавшийся в столь ранние эпохи, может играть значительную роль не только при гравитационной конденсации отдельных фрагментов, но и воздействовать на тепловой баланс первичного газа в целом. В работе [10] показано, что даже небольшая примесь тяжелых влементов в первичном газе должна приводить к переработке энергии реликтового излучения в тепловую энергию газа в эпски $z \lesssim 150$, когда исчезает тепловой контакт между веществом и излучением [11]. К тому же эффекту может приводить присутствие в первичном газе небольшой примеси молекулярного водорода.

Цель данной работы состоит в расчете нагрева первичного газа реликтовым излучением при наличии примеси молекул Н2, образовавшихся в эпохи $z \sim 1000$, содержание которых, согласно [1], $\sim 4 \cdot 10^{-4}$. Обсуждается также возможность наблюдательной проверки этого эффекта.

2. Тепловой баланс первичного газа в эпохи г = 150. Как показано в работе [11], при однородном расширении Вселенной после рекомбинации водорода обмен энергией между остаточными электронами и излучением при вффекте Комптона поддерживает равенство температуры излучения $T_R(z)$ и кинетической температуры газа $T_k(z)$ вплоть до эпохи, характеризуемой красным смещением $z_* \simeq 150$. В последующие этапы расширения эти температуры должны падать с различными скоростями из-за различий в показателях адиабаты,

$$T_R(z) = T_R^{(0)}(1+z),$$
 (1)

$$T_R(z) = T_R^{(0)}(1+z),$$
 (1)
 $T_k(z) = T_R^{(0)}(1+z)^2/(1+z_e),$ (2)

где $T_R^{(0)} = 2.8 \text{ K}$ — температура реликтового излучения в современную эпоху. Поскольку $T_k(z) < T_R(z)$ для всех $z < z_e$, при наличии примеси молекулярного водорода может оказаться эффективным процесс перераэнергии реликтового излучения в тепловую энергию газа. Такая переработка заключается в радиативном возбуждении вращательных уровней молекул Н, с последующим столкновительным девозбуждением этих уровней, в результате чего скорость поступательного движения молекул возрастает. Возможен и обратный процесс — столкновительное возбуждение вращательных уровней с последующей радиативной деактивацией, который уменьшает тепловую энергию газа. Конкуренция прямого и обратного процессов определяет количество энергии, переданной от излучения

Уравнение для кинетической температуры газа как функции красного смещения детально обсуждалось нами в работе [10]. Здесь мы кратко суммируем данные, необходимые для дальнейших расчетов.

Уравнение для Ты(z) имеет вид

$$\frac{dT_k(z)}{dz} = \frac{2}{1+z} T_k(z) - \frac{\Lambda(z)}{kH_0(1+z)^2 \sqrt{1+\Omega_z}}.$$
 (3)

В этой формуле k — постоянная Больцмана, H_0 — постоянная Хаббла (принято, что H_0 =75 км/с Мпк= $2.5\cdot 10^{-18}$ с $^{-1}$), Ω — отношение средней плотности вещества во Вселенной к критической плотности, Λ (z) — функция, определяющая переработку энергии излучения в энергию газа (функция нагрева) в расчете на 1 атом газа, которая для вращательных уровней молекулярного водорода имеет вид

$$\Delta(z) = x (H_2) \sum_{j} \xi_{j} (n_{j} R_{j+j+2} - n_{j+2} R_{j+2+j}) h v_{j+2,j}, \qquad (4)$$

 r_{Ae} n_{I} — населенность вращательного уровня, характеризуемого квантовым числом J, $R_{I \to I + 2}$ и $R_{I + 2 \to I}$ — вероятности радиационных переходов между уровнями J и J+2, h- постоянная Планка, $v_{J+2,J}$ частота перехода. Величина є, представляет собой статистический вес изотопической модификации Н2. Уровни с четными значениями Ј относятся к параводороду; для них $\xi_1 = 1/4$. Уровни с нечетными значениями J относятся к ортоводороду; для них $\xi_1 = 3/4$. Суммирование в формуле (4) формально распространяется на все вращательные уровни. В действительности, необходимо учесть, что при z < z, $T_R(z)$, $T_{b}(z) < 2.8 (1+z_{s}) \text{ K} \simeq 423 \text{ K}$. Следовательно, уровни, энергии которых в температурной шкале существенно больше этой величины, практически не будут возбуждаться. В параводороде уровень J=2имеет энергию $\epsilon_2/k \simeq 512$ K, а для уровня $J = 4 - \epsilon_4/k \simeq 1700$ K. В ортоводороде уровень с $J\!=\!3$ имеет энергию $\varepsilon_{\!\scriptscriptstyle M}/k\!\simeq\!1020$ K, а для уровня J=5 $\epsilon_{\rm s}/k\simeq 2550$ К. Таким образом, в эпохи $z< z_{\rm e}$ уровни с J>4для параводорода и с / > 5 для ортоводорода практически не засеаяются. Основную роль в переработке энергии реликтового излучения в тепловую энергию и обратно будут играть вращательные уровни J = 0,2 пара- H_2 и J = 1,3 в орто- H_2 .

Функция нагрева теперь может быть переписана в упрощенном виде

$$\Lambda(z) = \frac{1}{4} x (H_2) \{ (n_0 R_{0 \to 2} - n_2 R_{2 \to 0}) h v_{30} + 3 (n_1 R_{1 \to 3} - n_3 R_{3 \to 1}) h v_{31} \}. \quad \zeta (5)$$

Населенности вращательных уровней легко определяются из уравнений баланса и в данном случае могут быть рассчитаны по формулам

$$n_0 = W_{2\to 0}/(W_{0\to 2} + W_{2\to 0}), \quad n_2 = W_{0\to 2}/(W_{0\to 2} + W_{2\to 0}), n_1 = W_{3\to 1}/(W_{1\to 3} + W_{3\to 1}), \quad n_3 = W_{1\to 3}/(W_{1\to 3} + W_{3\to 1}).$$
(6)

13-1385

В этих формулах $W_{i\to k} \equiv R_{i\to k} + C_{i\to k}$, $C_{i\to k}$ — вероятность столкновительного перехода $i\to k$. Вероятность радиационного перехода может быть вычислена по одной из следующих формул:

$$R_{0\to 2} = 5A_{2\to 0}\rho_{20}, \quad R_{2\to 0} = A_{2\to 0}(1+\rho_{20}),$$

$$R_{1\to 3} = \frac{7}{3}A_{3\to 1}\rho_{21}, \quad R_{3\to 1} = A_{3\to 1}(1+\rho_{21}),$$
(7)

где ρ_{tk} — плотность фотонов с частотой v_{tk} в единице фазового объема

$$\rho_{lk}(z) = \left[\exp\left(\frac{hv_{lk}}{kT_R^{(0)}(1+z)}\right) - 1 \right]^{-1}.$$
 (8)

Величины $A_{2\to0}=2.44\cdot 10^{-11}~{\rm c}^{-1}$ и $A_{3\to1}=4.03\cdot 10^{-10}~{\rm c}^{-1}$ представляют собой вероятности спонтанных переходов $2\to0$ и $3\to1$. Температурные зависимости вероятностей столкновительных переходов между рассматриваемыми парами уровней могут быть взяты из работы [12], где представлены численные результаты расчетов для столкновений молекул H_1 с атомарным водородом. Эти данные в интересующем нас температурном интервале $T_k\lesssim 500~{\rm K}$ могут быть аппроксимированы формулами

$$C_{0\rightarrow 2} = N_t A_p \left(\frac{T_k}{T_k^*}\right)^{\alpha_p} \exp\left(-\gamma_p \sqrt{\frac{T_k}{T_k^*}}\right), \tag{9}$$

$$C_{1-3} = N_t A_0 \left(\frac{T_k}{T_k^*}\right)^{s_0} \exp\left(-\gamma_0 \sqrt{\frac{T_k}{T_k^*}}\right), \tag{10}$$

где величины с индексами *р* относятся к параводороду, а с индексами о к ортоводороду. Численные значения параметров в аппроксимирующих формулах (9) и (10) следующие:

$$A_p = 4.20 \cdot 10^{-9} \text{ cm}^3/\text{c}, \quad \alpha_p = 7.295, \quad \gamma_p = 9.75,$$

 $A_0 = 5.77 \cdot 10^{-4} \text{ cm}^3/\text{c}, \quad \alpha_0 = 13.07, \quad \gamma_0 = 22.26.$ (11)

Величина T_k^* в формулах (9) и (10) представляет собой температуру в впоху $z=z_*$, N_t — полная концентрация газа в впоху z. $N_t=N_0^{(xp)}\Omega(1+z)^3$, $N_0^{(xp)}$ — вначение критической концентрации газа. При $H_0=75$ км/с Мпк $N_0^{(xp)}=6.62\cdot10^{-6}$ см $^{-3}$. Вероятности столкновительных переходов $2\to0$ и $3\to1$ могут быть рассчитаны с использованием выражений (9), (10) и принципа детального равновесия.

С помощью формул (6)—(10) легко рассчитать населенности для каждого вначения z. Подстановка n_f в формулу (5) определяет функцию нагрева и, следовательно, позволяет решить уравнение (3). Решение втого

уравнения должно быть получено при начальном условии $T_k(z=z_e)=T_R(z_e)=T_k^e.$

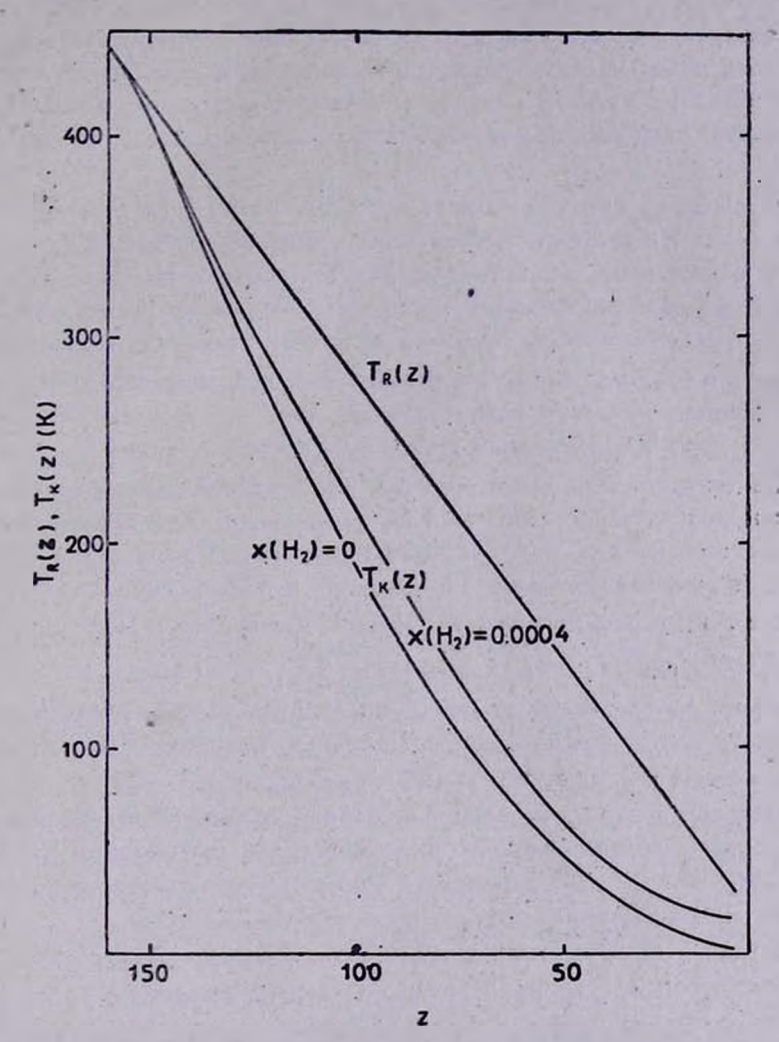


Рис. 1. Температура реликтового излучения T_R и кинетическая температура газа T_k как функции красного смещения z. Зависимость $T_k(z)$ показана для двух значений содержаний молекул водорода в первичном газе $x(H_2) = 4 \cdot 10^{-4}$ и $x(H_2) = 0$ ($\Omega = 1$, $\Omega = 75$ км/с Мпк).

Результаты численного расчета представлены на рис. 1. Согласно работе [1], относительное содержание молекул H_2 , образовавшихся в эпоху $z\sim 1000$, составляет $4\cdot 10^{-4}$ при $\Omega\sim 0.1$ —1.0. Как можно видеть на

рис. 1, при такой примеси молекул H_z в первичном газе кинетическая температура газа существенно (на несколько десятков градусов) отличается от температуры, определяемой формулой (2) (см. нижнюю кривую на рис. 1, которая соответствует $x(H_z) = 0$). Таким образом, как похазывают расчеты, даже небольшая примесь молекул H_z в первичном газе существенно воздействует на его тепловой баланс. Возможная наблюдательная проверка втого эффекта обсуждается в следующем разделе.

3. Проявление вффекта нагрева первичного газа в спектре осликтового ивлучения. Простейшим из способов проверки обсуждаемого эффекта было бы наблюдение линий поглощения Н, соответствующих переходам $0 \to 2$ и $1 \to 3$. Действительно, в этих переходах кванты реликтового излучения перерабатываются в тепловую внергию газа. Следовательно, на частотах Узо и Уза в некоторую произвольную эпоху, характеризуемую красным смещением 2, должны возникнуть две линии поглощения. Оптическая толщина каждой из этих линий определяется как условиями возбуждения уровней в данную впоху, так и геометрической длиной пути фотона Δl . Последняя может быть легко вычислена, если учесть, что при расширении Вселенной покраснение фотонов выводит их за пределы контура линии поглощения, ширина которого определяется тепловой скоростью молекул в газе v_r в рассматриваемую эпоху. Вычисление [13] дает $\Delta l =$ $=\sqrt{\pi}\,v_{T}/2H_{s}$, где $H_{s}=H_{0}(1+z)\sqrt{1+\Omega_{z}}$. Используя это значение и определяя населенности уровней по формулам (б), можно оценить, что в эпохи $z < z_e$ оптические толщияы в рассматриваемых линиях довольно малы ($\leq 10^{-5} - 10^{-6}$). И хотя максимальные по величине искажения спектра реликтового излучения, связанные с переходами в молекулах Н2, должны лежать в удобном для наблюдений диапазоне длин воли $\lambda \simeq 1-3$ мм, наблюдать такие слабые линии весьма сложно. Поэтому мы рассмотрим другую возможность.

В работе [13] нами было показано, что различие температур $T_R(z)$ и $T_k(z)$ в впохи z < z приводит к образованию в спектре реликтового излучения довольно глубокой ($\sim 1\,\mathrm{K}$) линии поглощения, возникающей при переходах между уровнями сверхтонкой структуры в атомарном водороде. Глубина линии поглощения при данном Ω определяется разностью температур $T_R(z)$ и $T_k(z)$. Следовательно, атомарный водород может служить термометром первичного газа и, в частности, может быть использован для выявления эффекта нагрева первичного газа реликтовым излучением при наличии в втом газе примеси молекулярного водорода. Глубина обсуждаемой линии поглощения в современную впоху z=0 есть [13]

$$\Delta T_R(z=0,\lambda) = T_R^{(0)} \left(1 - \frac{T_{ex}(z)}{T_R(z)} \right) \tau_z, \tag{12}$$

 $T_{ex}(z)$ — температура возбуждения, характеризующая отношение заселенностей уровней сверхтонкой структуры нейтрального водорода.

$$\frac{1}{T_{ex}(z)} = \frac{1}{T_R(z)} + \frac{1}{1 + B(z)} \left(\frac{1}{T_R(z)} - \frac{1}{T_R(z)} \right), \quad (13)$$

$$B(z) = \frac{b}{2(1+z)^3}, \quad b = 1.53 \cdot 10^4 \left(\frac{1+z_*}{150}\right)^{1/2} \left(\frac{55}{H_0}\right)^2. \tag{14}$$

Величина τ_s в формуле (12) представляет собой оптическую толщину в линии $\lambda_o=21$ см в эпоху z

$$\tau_{s} = \chi(z) \Delta l. \tag{15}$$

Коэффициент поглощения в эпоху z также выражается через температуру возбуждения

$$x(z) = \frac{3}{32\pi} \left(\frac{A_{10}}{H_0} N_0^{(xp)} \right)_0^3 \frac{\Omega (1+z)^2}{\sqrt{1+\Omega z}} \frac{T_0}{T_{ex}(z)}.$$
 (16)

Здесь $\zeta=0.75$ весовое содержание водорода, $T_0=hc/h_0k=0.0682$ K, A_{10} — вероятность перехода между уровнями сверхтонкой структуры в атоме водорода. Подстановка температуры газа, приведенной на рис. 1, в формулу (13) позволяет рассчитать температуру возбуждения, а затем (формулы (12) и (16)) и глубину линии поглощения. Величина ΔT_R как функция красного смещения z (или, что вквивалентно, как функция длины волны λ) приведена на рис. 2 для $\Omega=1$. Верхняя кривая соответствует содержанию молекулярного водорода в первичном газе x (H_2) = $4\cdot10^{-4}$ [1]. Нижняя кривая взята из работы [13] и относится к случаю, когда x (H_2) = 0.

Как можно видеть на рис. 2, различие наблюдаемых профилей в двух рассматриваемых случаях достаточно велико. Нагрев первичного газа при наличии в нем примеси H_2 приводит к смещению минимума профиля поглощения к более длинным волнам. Возможность наблюдения подобных профилей поглощения обсуждалась нами в работе [13]. Там, в частности, отмечено, что при оценке относительной глубины поглощения $\Delta T_R(z=0,\lambda)/T_{\Phi}(\lambda)$ необходимо учитывать тот факт, что в длинноволновом диапазоне воли наблюдаемая температура фона $T_{\Phi}(\lambda)$ значительно превосходит температуру реликтового излучения. В рассматриваемом случае

отношение $\Delta T_R(z=0,\lambda)/T_{\phi}(\lambda)$ на длинах волн $\lambda < 10$ м может оказаться порядка $2 \cdot 10^{-4}$. Эта величина мала, но может быть измерена. От-

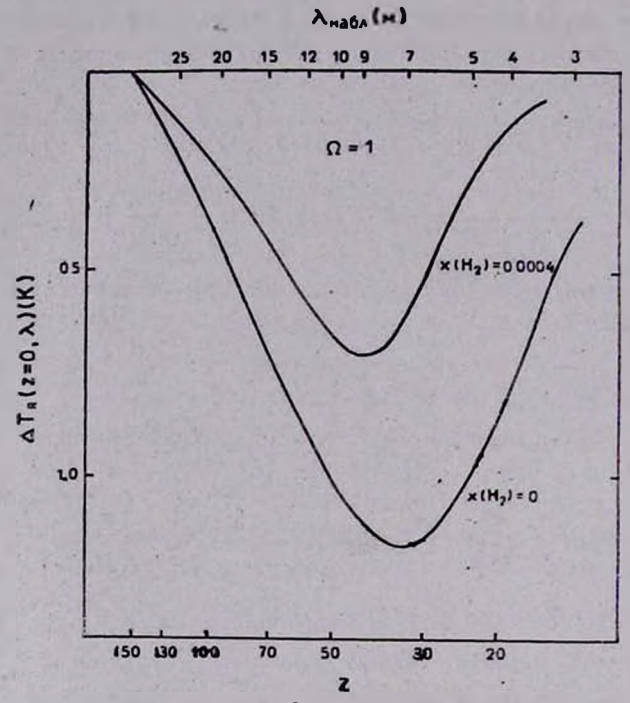


Рис. 2. Профиль линии поглощения $\lambda_0=21$ см в современную эпоху в спектре реликтового излучения. Верхняя кривая соответствует относительному содержанию молекулярного водорода в первичном газе х $(H_2)=4\cdot 10^{-4}$. Нижняя кривая построена для х $(H_2)=0$.

метим, что ее наблюдение, а также детальное исследование профиля линии поглощения может дать важную информацию о физических условиях во Вселенной в впохи, характеризуемые красными смещениями $z \lesssim 150$.

Специальная астрофизическая обсерватория АН СССР

HEATING OF PRIMORDIAL GAS BY BACKGROUND RADIATION IF MOLECULAR HYDROGEN IS AVAILABLE

V. K. KHERSONSKII

According to [1], a small impurity of molecular hydrogen can exist in primordial gas in the cosmological epochs $z \approx 1000$. The effect

of heating of the gas by background radiation in the epochs $z \lesssim 150$ is considered. The processing of radiation energy to thermal energy of the gas takes place at transitions between low rotational levels of H_2 molecules. This process leads to the increase of gas temperature to about some scores of Kelvins. The possibility of observational test for this effect is discussed.

ЛИТЕРАТУРА

- 1. Ю. А. Щекинов, М. Б. Энтель, Астрон. ж., 60, 1073, 1983.
- 2. T. Hirasawa, Progr. Theor. Phys., 42, 523, 1969.
- 3. A. Dalgarno, B. McCray, Ann. Rev. Astron. and Astrophys., 10, 115, 1972.
- 4. В. К. Херсонский, Д. А. Варшалович, Астрон. ж., 55, 487, 1978.
- 5. Д. А. Варшалович, В. К. Херсонский, Письма в Астрон. ж., 2, 574, 1976.
- 6. Ю. А. Щекинов, М. А. Эдельман, Астрон. ж., 57, 1287, 1980.
- 7. Ю. И. Ивотов, И. Г. Колесник, Препринт ИТФ 81-84Р, 38 стр., Кнев, 1981.
- 8. R. J. Bienick, A. Dalgarno, Astrophys. J., 228, 635, 1979.
- 9. V. K. Khersonskii, Astrophys. and Space Sci., 88, 21, 1982.
- 10. Д. А. Варшалович, В. К. Херсонский, Р. А. Сюняев, Астрофизика, 17, 487, 1981.
- 11. Я. Б. Зельдович, В. Г. Курт, Р. А. Сюняев, Ж. экспервм. и теор. физ., 55, 278, 1968.
- 12. S. Green, D. G. Truhlar, Astrophys. J., 231, L101, 1979.
- 13. Д. А. Варшалович, В. К. Херсонский, Письма в Астрон. ж., 3, 291, 1977.